

УДК 66.011:541.128:547.211

ПОЛУЧЕНИЕ СИНТЕЗ-ГАЗА КИСЛОРОДНОЙ КОНВЕРСИЕЙ МЕТАНА В ПРИСУТСТВИИ КАТАЛИЗАТОРА НА ОСНОВЕ NdCaCoO₄: КИНЕТИЧЕСКОЕ МОДЕЛИРОВАНИЕ АВТОТЕРМИЧЕСКОГО ПРОЦЕССА

© 2015 г. Т. Н. Гартман, Ф. С. Советин, Е. А. Боровкова, В. Ф. Швец, Р. А. Козловский,
А. С. Локтев¹, Ю. В. Лебедев², А. Г. Дедов¹, И. И. Моисеев¹

Российский химико-технологический университет им. Д. И. Менделеева, Москва

¹Российский государственный университет нефти и газа им. И. М. Губкина, Москва

²Открытое акционерное общество “Газпром”

E-mail: genchem@gubkin.ru

Поступила в редакцию 18.11.2014 г.

Исследована реакция кислородной конверсии метана в синтез-газ с использованием высокоселективного катализатора на основе NdCaCoO₄, определены кинетические константы. Для определения кинетических констант на узком слое катализатора массой 0.1 г реализована модель изотермического процесса получения синтез-газа, выбраны варианты целевых функций и вычислительный алгоритм минимизации критерия рассогласования расчетных и экспериментальных данных. Проведено кинетическое моделирование процесса окислительной конверсии метана в изотермическом и автотермическом режимах, для изотермического режима установлено соответствие результатов расчетов экспериментальным данным.

Ключевые слова: синтез газ, конверсия метана, катализатор конверсии, кинетическое моделирование.

DOI: 10.7868/S0028242115040048

Повышение показателей энерго- и ресурсо-сбережения нефтехимических производств не представляется возможным без тщательного исследования и анализа реакторных процессов, как правило, протекающих в гетерогенно-катализитических реакторах. Решение этих задач требует кинетического моделирования реакторных процессов, при проведении которого удается учитывать влияние основных физико-химических и технологических параметров производств и, прежде всего, влияние используемого типа конкретного катализатора. С применением кинетических моделей и результатов кинетического моделирования решаются задачи масштабирования реакторных процессов, что позволяет широко использовать их при проектировании опытных, полупромышленных и промышленных установок [1].

Для проведения кинетического моделирования каталитических реакторных процессов, необходимо решать комплекс задач, основной из которых является определение параметров кинетических моделей – структурных, связанных с механизмом реакций, и параметрических, в частности констант скоростей протекающих реакций. Задача определения кинетических констант химических реакций основного органического и

нефтехимического синтеза в настоящее время является актуальной в связи с многообразием возможностей постановки экспериментальных исследований для их нахождения, а также новым, более совершенным и современным аппаратурным оформлением лабораторного оборудования и разработкой новых катализаторов [2].

Процедура решения задачи нахождения кинетических констант в адиабатическом реакторе периодического действия изложена в [3–4]. Данная процедура, применяемая для определения кинетических констант жидкофазных реакций по модели идеального смешения, не может быть применена для определения кинетических констант газофазных (или парофазных) гетерогенно-катализитических реакций, где для описания движения потока необходимо использовать модель идеального вытеснения.

Исследование кинетических закономерностей химических реакций на различных катализаторах, приведено в [2, 5–10].

В парциальном окислении метана в синтез-газ высокую эффективность и стабильность показал катализатор на основе перовскитоподобного материала NdCaCoO₄, селективность образования синтез-газа достигала 100% при конверсии метана бо-

ле 90% [11–13]. В связи с этим актуальной является задача определения кинетических констант процесса получения синтез-газа методом кислородной конверсии на данном катализаторе.

При решении задач параметрической идентификации газофазных гетерогенно-катализитических реакций с использованием модели идеального вытеснения возникают следующие проблемы: выбор критерия идентификации (критерия рассогласования расчетных и экспериментальных данных); выбор алгоритма и параметров для решения системы дифференциальных уравнений с учетом необходимости применения в некоторых случаях специальных алгоритмов для решения жестких систем дифференциальных уравнений [14–15]; выбор методов нелинейного программирования для поиска минимума критерия идентификации [16].

Поставленные задачи требуют проведения исследования и реализации метода моделирования газофазных гетерогенно-катализитических процессов в реакторах идеального вытеснения.

Критерий рассогласования расчетных и экспериментальных имеет вид [16]:

$$S = \sum_{u=1}^L \sum_{i=1}^v \sum_{l=1}^z [y_i^{\text{расч}}(l) - y_i^{\text{эксп}}(l)]^2 dl, \quad (1)$$

где y – концентрации компонентов на выходе, конверсия базового реагента или селективность, l – длина реактора.

В качестве сравнительных физических величин используются как прямые, так и косвенные расчетные и экспериментальные данные (пример прямых расчетных данных – концентрации компонентов на выходе, косвенных – конверсия базового реагента и селективности по продуктам).

Цель работы – определение кинетических констант процесса получения синтез-газа кислородной конверсией метана в лабораторном изотермическом реакторе в присутствии катализатора на основе NdCaCoO_4 и проведение кинетического моделирования данного процесса в автотермических условиях в лабораторном и в опытном реакторах.

ЭКСПЕРИМЕНТАЛЬНАЯ ЧАСТЬ

Исследование процесса кислородной конверсии метана в синтез-газ выполнялось с использованием лабораторной установки проточного типа с проточным дифференциальным кварцевым реактором, описанной в [11–13]. Масса катализатора, загруженного в реактор, составляла 0.1 г. Размер частиц катализатора 0.5–1 мм. Высота слоя катализатора около 1 мм.

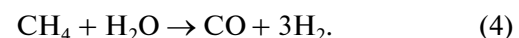
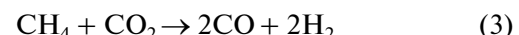
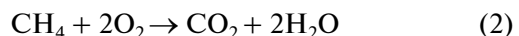
Анализ исходного газового потока сырья и газообразных продуктов реакции после установления постоянной температуры в слое катализатора

проводился методом ГХ на хроматографах ГАЛС-311 с детектором по теплопроводности.

Результаты экспериментов по окислительным превращениям метана в присутствии катализатора на основе NdCaCoO_4 , в лабораторном реакторе приведены в табл. 1.

РЕЗУЛЬТАТЫ И ИХ ОБСУЖДЕНИЕ

Определение кинетических констант процесса кислородной конверсии метана в синтез-газ. Основные допущения: 1) Химические реакции протекают в соответствии со следующей схемой [17–21]:



2) Анализ литературных источников показывает, что для адекватного описания экспериментальных данных кинетических зависимостей с применением методов регрессионного анализа достаточно использовать уравнение вида $r_j = k_j \prod_{u=1}^{z-s} c_u$ [22]. Для газофазных реакций (2)–(4) нами было принято допущение, что скорости стадий описываются уравнением $r_j = k_j p_{\text{pear},1} p_{\text{pear},2}$, $j = 1, 2, \dots, w$ и $k_4 = k_3 = k$, а $k_2 = ak$. При этом для описания температурной зависимости константы скорости используется уравнение $k = e^{\frac{A-B}{T}}$ (A и B – кинетические константы реакций (2)–(4), T – абсолютная температура).

3) Горение метана прекращается, когда мольная доля кислорода становится равной 0.002.

4) Парциальные давления компонентов рассчитываются по закону Дальтона.

Принимается допущение, что при протекании первой стадии процесса – сгорания метана до полного расходования кислорода, реакция (2), протеканием реакций (3) и (4) можно пренебречь. Так как перечисленные выше реакции являются гетерогенно-катализитическими, целесообразно записывать дифференциальные уравнения изменения мольного расхода компонента по массе катализатора [23]:

$$\frac{dn_{\text{CH}_4}}{dm_{\text{кат}}} = -k_2 p_{\text{CH}_4} p_{\text{O}_2}; \quad (5)$$

$$\frac{dn_{\text{CO}_2}}{dm_{\text{кат}}} = k_2 p_{\text{CH}_4} p_{\text{O}_2}; \quad (6)$$

$$\frac{dn_{\text{O}_2}}{dm_{\text{кат}}} = -2k_2 p_{\text{CH}_4} p_{\text{O}_2}; \quad (7)$$

$$\frac{dn_{\text{H}_2\text{O}}}{dm_{\text{кат}}} = 2k_2 p_{\text{CH}_4} p_{\text{O}_2}. \quad (8)$$

Таблица 1. Результаты экспериментов по окислительным превращениям метана в присутствии катализатора на основе NdCaCoO₄, в лабораторном реакторе*

№	Мольн. соотношение CH ₄ /O ₂ , β	W, мл/г·ч	T, °C	x _{CH₄} ^{эксп.} , %**	Y _{эксп.} , %		
					H ₂	CO	CO ₂
1	1.8	22500	889	79	59	62	17
2	1.8	22500	909	86	71	71	15
3	1.9	24107	910	93	82	85	8
4	1.9	21774	855	68	52	52	16
5	1.9	21774	885	88	80	77	11
6	2.4	20225	869	76	77	74	2
7	2.8	19708	871	84	70	82	2
8	2.9	19565	892	87	73	86	1
9	2.7	19355	872	90	71	89	1
10	2.5	19926	865	85	83	85	1
11	2.8	19636	893	79	77	78	1
12	2.7	19708	911	85	81	85	0
13	2.5	20074	923	74	68	72	2
14	2.6	20074	936	77	74	75	2
15	2.6	20074	957	78	75	77	1

* Погрешность определения W = 2 мл/г·ч, T = 0.5°C, x_{CH₄}^{эксп.}, и выхода продуктов = 3 абс. %

** Равновесная конверсия метана в приведенных экспериментальных условиях составляет 100%

Система обыкновенных дифференциальных уравнений (5)–(8) дополняется начальными условиями:

$$\begin{aligned} n_{\text{CH}_4}(0) &= n_{\text{CH}_4}^{(0)}; \quad n_{\text{CO}_2}(0) = n_{\text{CO}_2}^{(0)}; \quad n_{\text{CO}}(0) = n_{\text{CO}}^{(0)}; \\ n_{\text{H}_2}(0) &= n_{\text{H}_2}^{(0)}; \quad n_{\text{O}_2}(0) = n_{\text{O}_2}^{(0)}; \quad n_{\text{H}_2\text{O}}(0) = n_{\text{H}_2\text{O}}^{(0)}; \quad N(0) = N^{(0)}. \end{aligned}$$

Для решения системы уравнений математического описания используется метод Рунге–Кутта 4-ого порядка [14–15].

Рассчитанные мольные расходы компонентов на i-ом участке массы катализатора (там, где закончилось горение метана) — исходные данные для программы № 2 (модуля № 2).

После того, как закончится кислород, протекают реакции конверсии метана (3)–(4).

$$\frac{dn_{\text{CH}_4}}{dm_{\text{кат}}} = -k(p_{\text{CH}_4}p_{\text{CO}_2} + kp_{\text{CH}_4}p_{\text{H}_2\text{O}}); \quad (9)$$

$$\frac{dn_{\text{CO}_2}}{dm_{\text{кат}}} = -kp_{\text{CH}_4}p_{\text{CO}_2}; \quad (10)$$

$$\frac{dn_{\text{CO}}}{dm_{\text{кат}}} = k(2p_{\text{CH}_4}p_{\text{CO}_2} + p_{\text{CH}_4}p_{\text{H}_2\text{O}}); \quad (11)$$

$$\frac{dn_{\text{H}_2}}{dm_{\text{кат}}} = k(2p_{\text{CH}_4}p_{\text{CO}_2} + 3p_{\text{CH}_4}p_{\text{H}_2\text{O}}); \quad (12)$$

$$\frac{dn_{\text{H}_2\text{O}}}{dm_{\text{кат}}} = -kp_{\text{CH}_4}p_{\text{H}_2\text{O}}; \quad (13)$$

$$N = n_{\text{CH}_4} + n_{\text{CO}_2} + n_{\text{CO}} + n_{\text{H}_2} + n_{\text{O}_2} + n_{\text{H}_2\text{O}}. \quad (14)$$

Система обыкновенных дифференциальных уравнений (9)–(14) дополняется начальными условиями (I означает – модуль № I):

$$\begin{aligned} n_{\text{CH}_4}(0) &= n_{\text{CH}_4}^{(I)}; \quad n_{\text{CO}_2}(0) = n_{\text{CO}_2}^{(I)}; \\ n_{\text{CO}}(0) &= n_{\text{CO}}^{(I)}; \quad n_{\text{H}_2}(0) = n_{\text{H}_2}^{(I)}; \quad n_{\text{O}_2}(0) = n_{\text{O}_2}^{(I)}; \\ n_{\text{H}_2\text{O}}(0) &= n_{\text{H}_2\text{O}}^{(I)}; \quad N(0) = N^{(I)}. \end{aligned}$$

Для решения системы уравнений математического описания используется метод Рунге–Кутта 4-ого порядка, для нахождения кинетических констант минимизируются критерии рассогласования:

— прямой критерий

$$\begin{aligned} S_{\text{пп}} = \sum_{i=1}^{15} [(n_{\text{CH}_4}^{\text{расч.}} - n_{\text{CH}_4}^{\text{эксп.}})^2 + (n_{\text{CO}}^{\text{расч.}} - n_{\text{CO}}^{\text{эксп.}})^2 + \\ + (n_{\text{CO}_2}^{\text{расч.}} - n_{\text{CO}_2}^{\text{эксп.}})^2 + (n_{\text{H}_2}^{\text{расч.}} - n_{\text{H}_2}^{\text{эксп.}})^2], \end{aligned} \quad (15)$$

— косвенный критерий

Таблица 2. Результаты нахождения кинетических констант

№		Константы			
		A	B	A	S
1	Начальное приближение	-0.95	16500	1.01	86117
	Результаты минимизации прямого критерия	-0.98	16004	7.22	15035
	Минимизации косвенного критерия	1.28	16574	1.75	6723
2	Начальное приближение	1.95	23500	8.99	100219
	Результаты минимизации прямого критерия	-0.96	16000	9	15073
	Результаты минимизации косвенного критерия	2	17337	1.27	6631
3	Начальное приближение	-0.95	23500	8.99	112656
	Результаты минимизации прямого критерия	-1	16007.3	8.80	15052
	Результаты минимизации косвенного критерия	0.89	16000	1	6599
4	Начальное приближение	-0.95	16500	8.99	19815
	Результаты минимизации прямого критерия	-0.82	16000	3.63	15120
	Минимизации косвенного критерия	2	17339	1.18	6601
5	Начальное приближение	1.95	16500	1.05	50582
	Результаты минимизации прямого критерия	-0.78	16000	3.24	15203
	Результаты минимизации косвенного критерия	1.76	17075	1.18	6586

$$S_{\text{косв.}} = \sum_{i=1}^{15} [(x_{\text{CH}_4}^{\text{расч.}} - x_{\text{CH}_4}^{\text{эксп.}})^2 + (Y_{\text{CO}}^{\text{расч.}} - Y_{\text{CO}}^{\text{эксп.}})^2 + (Y_{\text{CO}_2}^{\text{расч.}} - Y_{\text{CO}_2}^{\text{эксп.}})^2 + (Y_{\text{H}_2}^{\text{расч.}} - Y_{\text{H}_2}^{\text{эксп.}})^2] \quad (16)$$

при этом расходы компонентов в уравнении (15) целесообразно брать в ммоль/ч. Выходы CO, CO₂ и H₂ связаны с мольными расходами соотношениями:

$$Y_{\text{CO}} = \frac{n_{\text{CO}}}{n_{\text{CH}_4}^{(0)}}; \quad Y_{\text{CO}_2} = \frac{n_{\text{CO}_2}}{n_{\text{CH}_4}^{(0)}}; \quad Y_{\text{H}_2} = \frac{n_{\text{H}_2}}{2n_{\text{CH}_4}^{(0)}}.$$

Экспериментальные значения конверсии CH₄, а также экспериментальные выходы CO, CO₂ и H₂ берутся из таблицы результатов экспериментов (табл. 1). Процедура определения кинетических констант для гетерогенно-катализитических газофазных реакций изложена в работе [24]. Анализ экспериментальных данных показал, что необходимо выбрать следующие интервалы изменения кинетических констант: A ∈ [-1; 2]; B ∈ [16000; 24000]; a ∈ [1; 9].

Кинетические константы определены нахождением минимума критерия рассогласования (15–16) с использованием метода штрафных функций [14–15].

Определение 3-х кинетических констант реакций (2)–(4) проведено в вышеуказанных интервалах их изменения; результаты приведены в табл. 2.

В процессе выполнения многократных расчетных исследований было установлено, что в критерий рассогласования целесообразно включать косвенные расчетные и экспериментальные данные (конверсии базовых реагентов и выходы некоторых продуктов) и минимизировать уравнение (16).

Установлено, что для решения задачи кинетического моделирования процесса кислородной конверсии метана в синтез-газ целесообразно использовать следующие кинетические константы – A = 1.76, B = 17075 и a = 1.18 (косвенный критерий рассогласования – S = 6586).

Результаты кинетического моделирования процесса получения синтез-газа в лабораторном реак-

Таблица 3. Сравнение результатов расчета свойств выходного потока лабораторного реактора (для экспериментальной точки № 6) табл. 1 с экспериментальными значениями

Свойство потока	Значения		
P , кПа	100		
$t, ^\circ\text{C}$	869		
$G, \text{г/ч}$	1.87		
		На входе	На выходе
ω	Расчетные данные	Расчетные данные	Экспериментальные данные
CH_4	0.55	0.14	0.13
CO_2	0	0.04	0.03
CO	0	0.69	0.71
H_2	0	0.1	0.11
O_2	0.45	0	0
H_2O	0	0.03	0.02
$x_{\text{CH}_4}^{\text{расч.}}, \%$	74.55		

торе в изотермическом режиме (массовые доли компонентов на выходе из лабораторного реактора для экспериментальной точки № 6 табл. 1 приведены в табл. 3).

Изменения концентраций компонентов по массе катализатора, так называемые профили концентраций при найденных кинетических константах, приведены на рис. 1.

Исследование метода математического моделирования и нахождения кинетических констант показало удовлетворительную сходимость, как с вычислительной точки зрения, так и с позиции совпадения расчетных и экспериментальных данных.

Построение кинетической модели процесса кислородной конверсии метана в синтез-газ в автотермическом режиме на тонком слое катализатора. В последнее время задачи ресурсосбережения на химических и нефтехимических производствах являются одними из важнейших в химической технологии, поэтому, многие процессы, по возможности, стараются проводить в автотермических режимах. Автотермический процесс получения синтез-газа был разработан компанией Haldor Topsøe [25].

Кинетическое моделирование данного процесса необходимо для его исследования с целью последующего включения разработки в модель технологической схемы опытной (лабораторной, полупромышленной или промышленной) установки получения синтез-газа в процессе подготовки исходных данных для проектирования проектов химических производств. При этом исходные данные (температура, давление и состав входного потока) для кинетического моделирования данного процесса в автотермическом режиме должны быть максимально приближены к реальным промышленным условиям. При решении указанной задачи требуется учитывать тепловые эффекты всех протекающих реакций. Температура на входе в автотермический реактор (лабораторный и/или опытный) не должна превышать температуру воспламенения смеси “метан-кислород”.

Уравнения (5)–(8) дополняются уравнением теплового баланса. Тепловой баланс на тонком слое катализатора может быть представлен моделью идеального смешения [26]:

$$N^{(0)}c_p^{(0)}T^{(0)} - Nc_{pI}^{\text{cp}}T + M_{\text{kat}}^I\Delta q_{\text{cpI}}^R + Q_{\text{топ}} = 0, \quad (17)$$

где M_{kat}^I – часть массы катализатора, на которой протекает экзотермическая реакция (2) – горение метана.

По уравнению теплового баланса определяется тепло, которое отводится из зоны протекания экзотермической реакции (2) $Q_I = Nc_p^{\text{cp}}T - N^{(0)}c_p^{(0)}T^{(0)} - M_{\text{kat}}^I\Delta q_{\text{cpI}}^R$, и передается для проведения эндотермических реакций (3) и (4) $Q_{II} = -Q_I$. Тепловыми потерями через стенки реактора и по стенкам мы пренебрегаем.

Расчетная температура T в реакторе определяется решением уравнения теплового баланса для зоны конверсии метана $N^{(0)}c_{pI}^{\text{cp}}T - Nc_{pII}^{\text{cp}}T + (M_{\text{kat}} - M_{\text{kat}}^I)\Delta q_{\text{cpII}}^R + Q_{II} = 0$.

Алгоритм расчета автотермических процессов на тонком слое катализатора и его реализация для рас-

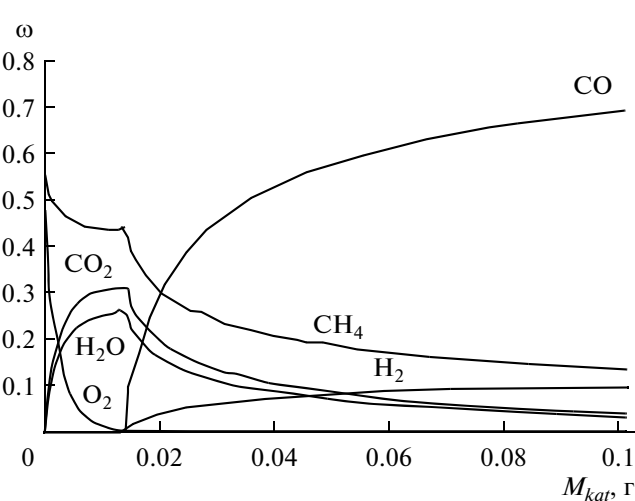


Рис. 1. Изменение массовых долей компонентов по длине реактора (по массе катализатора) для экспериментальной точки № 6 табл. 1.

чата опытного реактора получения синтез-газа изложены в работе [27]. Решение задач включения модели реактора кислородной конверсии метана в модель промышленной технологической схемы получения синтез-газа приведено в работе [28].

Результаты кинетического моделирования процесса получения синтез-газа из метана кислородной конверсией при 0.1 г катализатора (лабораторный реактор) и при 1000 г катализатора (опытный реактор) приведены в табл. 4 и 5 (массовые доли на выходе из реактора являются расчетными). Профили концентраций приведены на рис. 2 и 3.

Сравнением результатов расчетов лабораторного реактора в изотермическом режиме (табл. 3 и рис. 1) с результатами расчета лабораторного и опытного реактора в автотермических режимах (табл. 4–5, рис. 2–3) установлено, что конверсия метана и расчетная температура в автотермическом режиме меньше, в сравнении с конверсией и табличной температурой (табл. 1) в изотермическим лабораторным реактором. Это объясняется тем, что температура на входе в автотермический реактор (лабораторный и опытный) ниже температуры на входе в изотермический лабораторный реактор (при экспериментах на лабораторном реакторе измеряется температура только в слое катализатора, который помещен в электропечь), что связано с тем, что температура на входе в реактор лабораторной, опытной полупромышленной и/или промышленной установки не должна превышать температуру воспламенения смеси “метан–кислород” (температура воспламенения смеси “метан–кислород” в интервале 537–545°C) [29]. Последнее указанное обстоятельство является важным при разработке модели опытной (лабораторной, полупромышленной и/или промышленной) технологической схемы получения синтез-газа в процессе подготовки исходных данных при проектировании химических производств.

Таким образом, в результате исследования были определены кинетические константы процесса получения синтез-газа кислородной конверсией метана в присутствии катализатора на основе NdCaCoO₄. Проведено кинетическое моделирование данного процесса в изотермических и автотермических режимах в лабораторном реакторе – 0.1 г катализатора, и опытном реакторе – 1000 г катализатора.

Отличительные особенности предлагаемого метода идентификации: 1) квазигомогенное описание процессов на катализаторе; 2) при моделировании процесса окислительной конверсии метана в автотермическом режиме температура в зоне протекания экзотермической реакции равна температуре в зоне протекания эндотермических реакций, что возможно из-за тонкого слоя катализатора; 3) тепло, отводимое из зоны протекания экзотермической реакции, полностью передается в

Таблица 4. Результаты кинетического моделирования процесса получения синтез-газа из метана кислородной конверсией (0.1 г катализатора, лабораторный реактор)

Свойство потока		
P , кПа	100	
$t^{(0)}$, °C	489	
$t^{\text{расч.}}$, °C	827	
G , г/ч	1.87	
ω	На входе	На выходе
CH ₄	0.55	0.21
CO ₂	0	0.11
CO	0	0.52
H ₂	0	0.08
O ₂	0.45	0
H ₂ O	0	0.08
$Q_{\text{гор.}}$, Дж/ч		-7.27
$x_{\text{CH}_4}^{\text{расч.}}, \%$		61.82

Таблица 5. Результаты кинетического моделирования процесса получения синтез-газа из метана кислородной конверсией при загрузке 1000 г катализатора (опытный реактор)

Свойство потока		
P , кПа	100	
$t^{(0)}$, °C	489	
$t^{\text{расч.}}$, °C	827	
G , г/ч	17161	
ω	На входе	На выходе
CH ₄	0.55	0.21
CO ₂	0	0.11
CO	0	0.52
H ₂	0	0.08
O ₂	0.45	0
H ₂ O	0	0.08
$Q_{\text{гор.}}$, Дж/ч		-77282
$x_{\text{CH}_4}^{\text{расч.}}, \%$		61.82

зону протекания эндотермических реакций; 4) по-компонентные балансы уравнений математического описания в зонах экзотермической реакции и эндотермических реакций описываются моделями идеального вытеснения, а тепловые балансы – моделями идеального смешения.

Путем сравнения результатов расчетных исследований установлено, что тенденции измене-

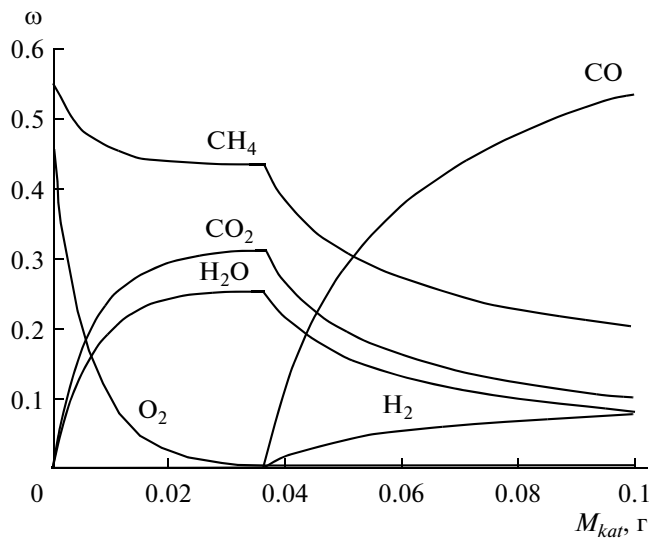


Рис. 2. Изменение массовых долей компонентов по длине реактора (по массе катализатора 0.1 г – лабораторный реактор).

ния концентраций компонентов по массе катализатора для лабораторного и опытного реакторов в автотермических режимах такие же, как и в лабораторном реакторе в изотермическом режиме.

Работа выполнена при финансовой поддержке Минобрнауки России в рамках выполнения базовой части государственного задания “Организация проведения научных исследований”, анкета № 1422 и проектной части государственного задания в сфере научной деятельности № 4.306.2014/К, а также ОАО “Газпром”, РФФИ (грант 13-03-00381) и Российского научного фонда (проект 14-13-01007).

ОБОЗНАЧЕНИЯ

При определении кинетических констант и проведении математического моделирования нами использованы следующие обозначения и индексы:

a, A, B – кинетические константы (коэффициенты кинетических уравнений); *B* – мольное соотношение метан/кислород; *c_p* – теплоемкость, кДж/(кмоль К); *G* – массовый расход, г/ч, кг/ч; *g* – локальная скорость компонента в потоке, кмоль/(г кат ч); *k* – константа скорости реакции 1/(кПа ч); *l* – длина реактора, м, *m* – координата массы катализатора; *M* – масса катализатора, г; *N* – общий мольный расход, кмоль/ч; *n* – мольный расход компонента, ммоль/ч, моль/ч, кмоль/ч; *P* – парциальное давление, кПа; *Q* – тепловая нагрузка, Дж/ч, кДж/ч; *S* – критерий рассогласования; *T* – температура, К; *t* – температура, °С; *r* – скорость реакции, кмоль/(г кат ч); *x* – конверсия, %; *Y* – выход, %; *W* – объемный расход входного потока, отнесенный к 1 г кат, мл/(г кат ч); *w* – количество

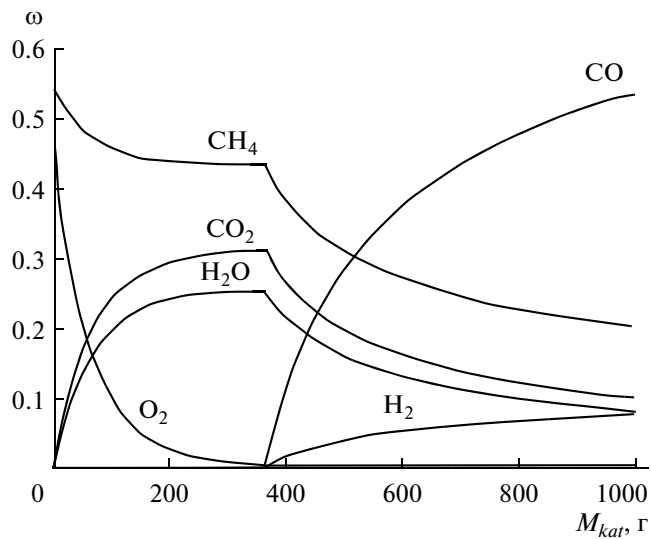


Рис. 3. Изменение массовых долей компонентов по длине реактора (по массе катализатора 1000 г – опытный реактор).

реакций; *Δq* – локальная интенсивность источника тепла, кДж/(г кат ч); *ω* – массовая доля компонента.

Используемые индексы: (0) – начальное значение на входе; I – зона протекания экзотермических реакций; II – зона протекания эндотермических реакций; *i* – номер компонента; *j* – номер стадии; *kat* – катализатор; *z* – количество компонентов; *s* – количество реагентов; *u* – номер реагента; *v* – количество экспериментальных точек; *w* – количество реакций; *R* – реакция; косв. – косвенный; пр – прямой; расч. – расчетное значение; эксп. – экспериментальное значение.

СПИСОК ЛИТЕРАТУРЫ

1. Островский Г.М., Волин Ю.М. // Теор. основы хим. технологии. 2006. Т. 40. № 3. С. 302.
2. Gartman T.N., Sovetin F.S., Proskuro E.A., Shvets V.F., Kozlovskiy R.A., Suchkov Y.P., Sapunov V.N., Loktev A.S., Levchenko D.A., Dedov A.G. // Chem. Engineer. Transactions. 2014. V. 39. P. 1009.
3. Chemstations Inc., User guide. Texas. 1998. 210 p.
4. Гартман Т.Н., Советин Ф.С., Новикова Д.К. // Теорет. основы хим. технологии. 2009. Т. 43. № 6. С. 702.
5. Balaev A.V., Grigor'eva N.F., Khazipova A.N., Kutepor B.I., Dzhemilev U.M. // Petrol. Chemistry. 2012. V. 52. № 6. P. 426.
6. Новичкова А.В., Масков Д.Ф., Бобренёва Ю.О., Губайдуллин И.М. // Башкирский хим. журнал. 2013. Т. 20. № 3. С. 63.
7. Масков Д.Ф., Губайдуллин И.М. // Вестник Омского ун-та. 2012 . № 2 (64). С. 182.
8. Нгуен Т.Х., Лефедова О.В., Меркин А.А. // Журн. физ. химии. 2013. Т. 87. № 4. С. 590.

9. Поварова Е.И., Пылинина А.И., Михайленко И.И. // Журн. физ. химии. 2013. Т. 87. № 4. С. 579.
10. Галактионова Л.В., Аркадова Л.А., Курина Л.Н., Горбунова Е.И., Белоусова В.Н., Найгороденко Ю.С., Касацкий Н.Г., Голобоков Н.Н. // Журн. физ. химии. 2008. Т. 82. № 2. С. 271.
11. Dedov A.G., Loktev A.S., Komissarenko D.A., Mazo G.N., Shlyakhtin O.A., Parkhomenko K.V., Kiennemann A.A., Roger A.C., Ishmurzin A.V., Moiseev I.I. // Applied Catalysis A: General. 2015. V. 489. P. 140.
12. Дедов А.Г., Локтев А.С., Мазо Г.Н., Леонова Л.С., Комисаренко Д.А., Мамаев Ю.А., Калужских М.С., Шляхтин О.А., Кузнецова Е.П., Карташева М.Н., Моисеев И.И. // ДАН. 2011. Т. 441. № 5. С. 635.
13. Дедов А.Г., Комисаренко Д.А., Локтев А.С., Мазо Г.Н., Шляхтин О.А., Пархоменко К.В., Прокоченко К.А., Моисеев И.И. // Хим. технология. 2013. № 12. С. 716.
14. Гартман Т.Н., Клушин Д.В. Основы компьютерного моделирования химико-технологических процессов. М.: Академкнига. 2008. 415 с.
15. Формалиев В.С., Ревизников Д.Л. Численные методы. М.: Физматлит. 2006. 400 с.
16. Розенброк Х., Стори С. Вычислительные методы для инженеров-химиков. / Пер. с англ. Авдеева Б.М., Ковачина Ю.В., Левицкого В.Н. М.: Мир. 1968. 444 с.
17. Sister V.G., Bogdanov V.A., Kolbanovskii Y.A. // Petrol. Chemistry. 2005. V. 45. № 6. P. 407.
18. Serdyukov S.I., Karpov I.I., Bel'nov V.K., Levchenko S.L., Safonov M.S., Drobakha G.S. // Petrol. Chemistry. 2011. V. 51. № 6. P. 418.
19. Крылов О.В., Арутюнов В.С. Окислительные превращения метана: М.: Наука. 1998. 361 с.
20. Деревич И.В., Ермолов В.С., Крылова А.Ю., Перешуков В.А. // Теорет. основы хим. технологии. 2006. Т. 40. № 2. С. 199.
21. Гартман Т.Н., Советин Ф.С., Новикова Д.К. // Хим. промышленность сегодня. 2012. № 3. С. 45.
22. Данов С.М., Колесников В.А., Еспович А.Л. // Журн. прикладной химии. 2010. Т. 83. № 1. С. 170.
23. Лебедев Н.Н., Манаков М.Н., Швец В.Ф. Теория хим. процессов основного органического и нефтехимического синтеза. М.: Химия. 1984. С. 376.
24. Гартман Т.Н., Проскуро Е.А., Советин Ф.С. // Усп. в химии и хим. технологиях. 2013. Т. 27. № 8 (148). С. 134.
25. Topsøe H. A/S and Societe Belge de L'Azote // Hydrocarbon Processing. 1988. V. 67. № 4. P. 77.
26. Дедов А.Г., Махлин В.А., Подлесная М.В., Зыскин А.Г., Локтев А.С., Тюняев А.А., Нипан Г.Д., Кольцов Т.Н., Кецко В.А., Карташева М.Н., Моисеев И.И. // Теорет. основы хим. технологии. 2010. Т. 44. № 1. С. 3.
27. Гартман Т.Н., Советин Ф.С., Проскуро Е.А., Швец В.Ф., Козловский Р.А., Сучков Ю.П., Сапунов В.Н., Локтев А.С., Дедов А.Г. // Теорет. основы хим. технологии. 2014. Т. 48. № 3. С. 294.
28. Басос А.Г., Проскуро Е.А., Сафонова В.Д. // Усп. в химии и хим. технологиях. 2014. Т. 28. № 2 (151). С. 28.
29. Басниев К.С. Энциклопедия газовой промышленности. М.: Квант, 1994. 884 С.